

《电动力学》

中山大学学院

2020年5月9日

李志兵

第五章 电磁波的辐射

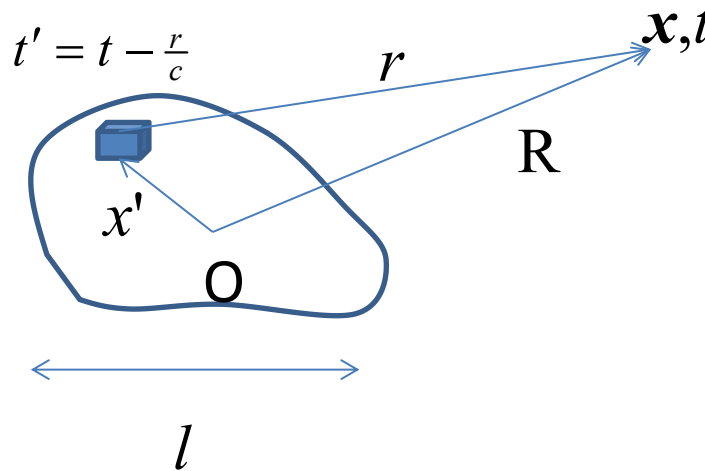
讨论给定电荷运动如何辐射电磁场

第3节 电偶极辐射

考虑电荷系统的线度远小于波长的情形.

电偶辐射是最常用的近似.

3.1 计算辐射的一般公式



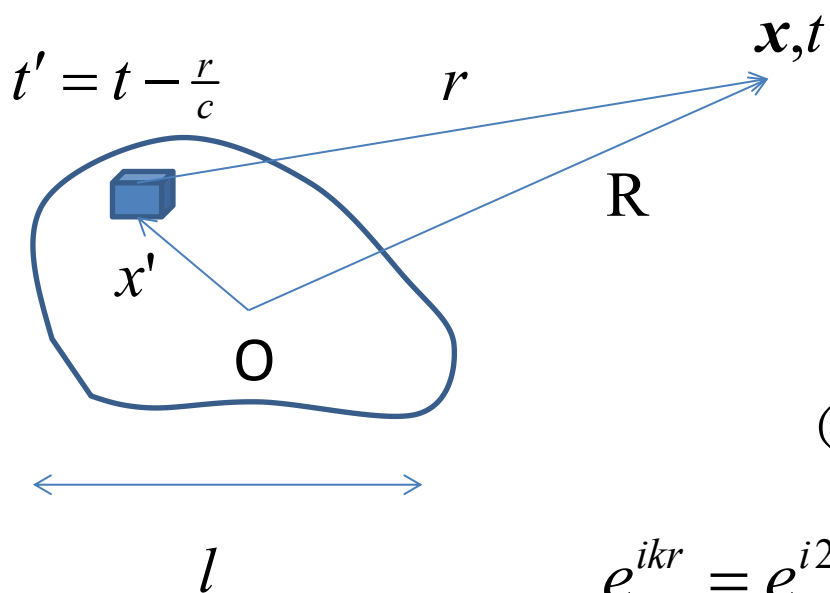
$$\varphi(\mathbf{x}, t) = \int_V \frac{\rho(\mathbf{x}', t - \frac{r}{c})}{4\pi\epsilon_0 r} dV' \quad A(\mathbf{x}, t) = \frac{\mu_0}{4\pi} \int_V \frac{\mathbf{J}(\mathbf{x}', t - \frac{r}{c})}{r} dV'$$

这一对 A 和 φ 刚好满足洛伦兹规范条件.

考虑交变电流的辐射, $\mathbf{J}(\mathbf{x}, t) = \mathbf{J}(\mathbf{x})e^{-i\omega t}$ 有 $A(\mathbf{x}, t) = A(\mathbf{x})e^{-i\omega t}$

$$A(\mathbf{x}) = \frac{\mu_0}{4\pi} \int_V \frac{\mathbf{J}(\mathbf{x}')}{r} e^{ikr} dV' \quad k = \frac{\omega}{c}$$

3.2 矢势展开



三个尺度: $l, r, \lambda = \frac{2\pi}{k}$

我们只考虑

$$l \ll r, \quad l \leq \lambda$$

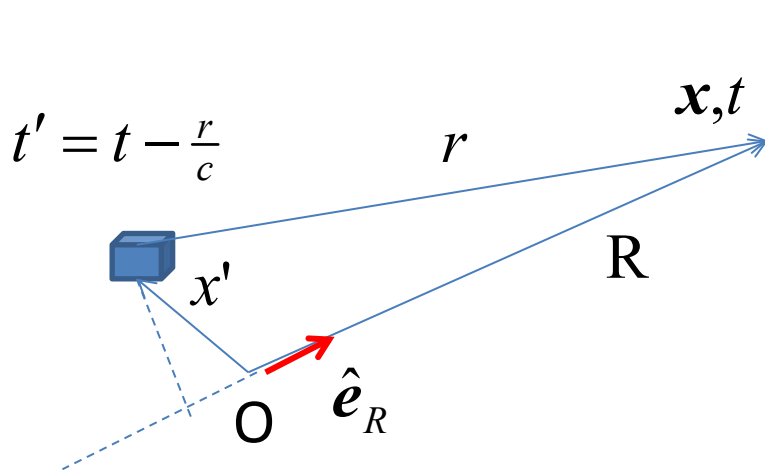
(1) 近区 $r \ll \lambda$

$$e^{ikr} = e^{i2\pi r/\lambda} \approx 1 \quad \Rightarrow \quad A(\mathbf{x}) \approx \frac{\mu_0}{4\pi} \int_V \frac{\mathbf{J}(\mathbf{x}')}{r} dV'$$

形式上稳恒电流情形一样.

(2) 感应区 $r \sim \lambda$ 比较复杂.

(3) 远区 (辐射区) $r \gg \lambda \geq l$



$$r = \sqrt{R^2 + x'^2 - 2\mathbf{R} \cdot \mathbf{x}'} = R \sqrt{1 + \left(\frac{x'}{R}\right)^2 - 2\frac{\hat{\mathbf{e}}_R \cdot \mathbf{x}'}{R}}$$

$$\approx R \left[1 + \frac{1}{2} \left(\frac{x'}{R}\right)^2 - \frac{\hat{\mathbf{e}}_R \cdot \mathbf{x}'}{R} \right]$$

$$r \approx R - \hat{\mathbf{e}}_R \cdot \mathbf{x}'$$

$$A(\mathbf{x}) \approx \frac{\mu_0}{4\pi} \int_V \frac{\mathbf{J}(\mathbf{x}') e^{ik(R - \hat{\mathbf{e}}_R \cdot \mathbf{x}')}}{R - \hat{\mathbf{e}}_R \cdot \mathbf{x}'} dV'$$

其中

$$\frac{1}{R - \hat{\mathbf{e}}_R \cdot \mathbf{x}'} \approx \frac{1}{R} + \frac{\hat{\mathbf{e}}_R \cdot \mathbf{x}'}{R^2} \approx \frac{1}{R}$$

$$e^{-ik\hat{\mathbf{e}}_R \cdot \mathbf{x}'} \approx 1 - ik\hat{\mathbf{e}}_R \cdot \mathbf{x}' + \dots$$

$$O(l/\lambda)$$

$$A(\mathbf{x}) \approx \frac{\mu_0 e^{ikR}}{4\pi} \int_V \frac{\mathbf{J}(\mathbf{x}')}{R} (1 - ik\hat{\mathbf{e}}_R \cdot \mathbf{x}' + \dots) dV'$$

3.3 电偶极辐射

领头项

$$\mathbf{A}(\mathbf{x}) = \frac{\mu_0 e^{ikR}}{4\pi R} \int_V \mathbf{J}(\mathbf{x}') dV'$$

积分等于电荷系统的电偶极的时间变化率. 证明如下.

$$\dot{p}_i = \frac{d}{dt} \int x'_i \rho(\mathbf{x}', t) dV' = \int x'_i \dot{\rho}(\mathbf{x}', t) dV'$$

应用电荷连续性方程

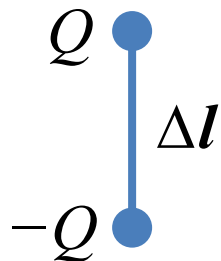
$$\begin{aligned} \dot{p}_i &= - \sum_{j=1}^3 \int x'_i \frac{\partial}{\partial x'_j} J_j(\mathbf{x}', t) dV' = - \sum_{j=1}^3 \int \frac{\partial}{\partial x'_j} [x'_i J_j(\mathbf{x}', t)] dV' + \sum_{j=1}^3 \int \delta_{ij} J_j(\mathbf{x}', t) dV' \\ &= - \oint x'_i \mathbf{J}(\mathbf{x}', t) \cdot d\mathbf{s}' + \int J_i(\mathbf{x}', t) dV' = \int J_i(\mathbf{x}', t) dV' \end{aligned}$$

因此

$$\dot{\mathbf{p}} = \int \mathbf{J}(\mathbf{x}', t) dV'$$

偶极辐射 $A(\mathbf{x}) = \frac{\mu_0 e^{ikR}}{4\pi R} \dot{\mathbf{p}} = \frac{\mu_0 e^{ik \cdot \mathbf{R}}}{4\pi R} \dot{\mathbf{p}} \quad \mathbf{k} = k \hat{\mathbf{e}}_R$

例



$$\dot{\mathbf{p}} = \dot{Q} \Delta l \quad \dot{Q} = I = \mathbf{J} \cdot \Delta \mathbf{s}$$

$$\dot{\mathbf{p}} = (\mathbf{J} \cdot \Delta \mathbf{s}) \Delta l = \mathbf{J} \Delta s \Delta l = \int \mathbf{J} dV' \quad \text{与一般公式一致}$$

$$A(\mathbf{x}) = \frac{\mu_0 e^{ikR}}{4\pi R} I \Delta l$$

磁感应强度

$$\mathbf{B} = \nabla \times \mathbf{A} \approx \frac{\mu_0}{4\pi R} (\nabla e^{ikR}) \times \dot{\mathbf{p}} = \frac{\mu_0 e^{ikR}}{4\pi R} ik \hat{\mathbf{e}}_R \times \dot{\mathbf{p}}$$

(略去 $1/R^2$ 项)

$$= \frac{\mu_0 e^{ikR}}{4\pi R} \frac{ik}{(-i\omega)} \hat{\mathbf{e}}_R \times \ddot{\mathbf{p}} = \frac{1}{4\pi\epsilon_0 c^3} \frac{e^{ikR}}{R} \ddot{\mathbf{p}} \times \hat{\mathbf{e}}_R$$

$\nabla \sim i\mathbf{k} = ik \hat{\mathbf{e}}_R$

横场

电场强度

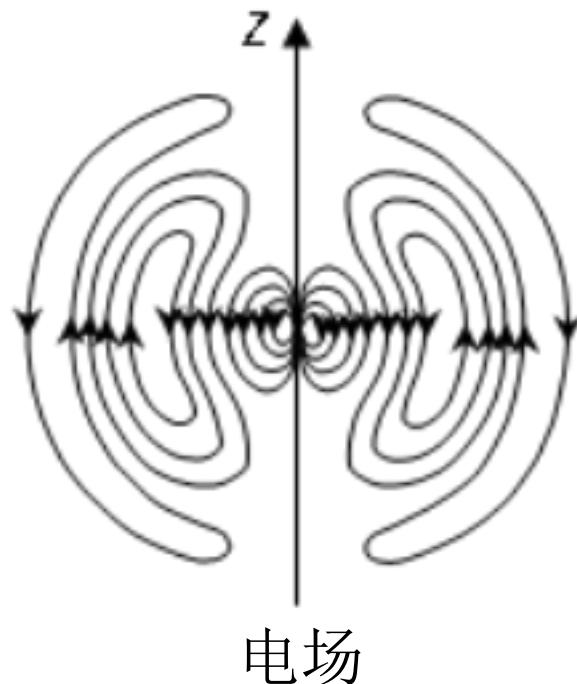
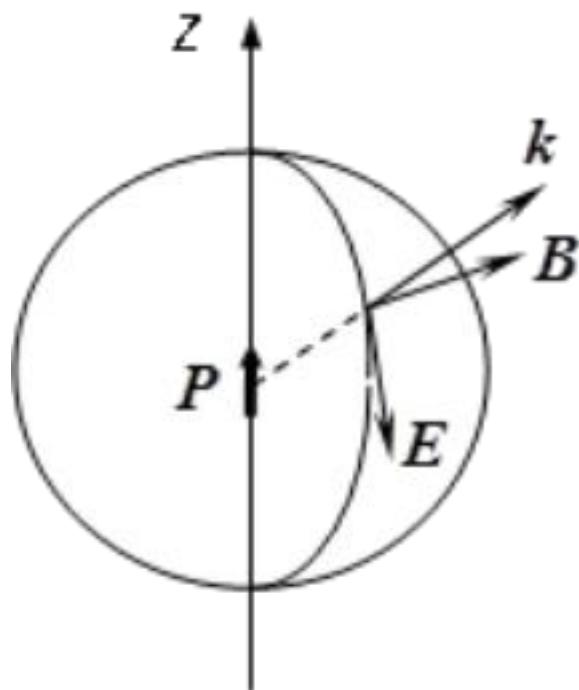
$$\mathbf{E} = \frac{ic}{k} \nabla \times \mathbf{B} \approx \frac{1}{4\pi\epsilon_0 c^2} \frac{e^{ikR}}{R} (\ddot{\mathbf{p}} \times \hat{\mathbf{e}}_R) \times \hat{\mathbf{e}}_R$$

横场

$$\mathbf{B} \approx \frac{\ddot{p}}{4\pi\epsilon_0 c^3} \frac{e^{ikR}}{R} \sin\theta \hat{\mathbf{e}}_\phi$$

$$\mathbf{E} \approx \frac{\ddot{p}}{4\pi\epsilon_0 c^2} \frac{e^{ikR}}{R} \sin\theta \hat{\mathbf{e}}_\theta$$

（正确的电场如右下图，电场线闭合，从而必须在某处有纵场成分。而电偶极辐射电场是横场，在南、北极附近显然不正确）



辐射区：电磁场 $\sim 1/R$ ；能流密度 $\sim 1/R^2$

3.4 辐射能流 角分布 辐射功率

平均能流密度

$$\bar{\mathbf{S}} = \frac{1}{2} \text{Re}(\mathbf{E}^* \times \mathbf{H}) = \frac{|\ddot{\mathbf{p}}|^2}{32\pi^2 \varepsilon_0 c^3 R^2} \sin^2 \theta \hat{\mathbf{e}}_R$$

角分布见p166, 图5-5

总辐射功率

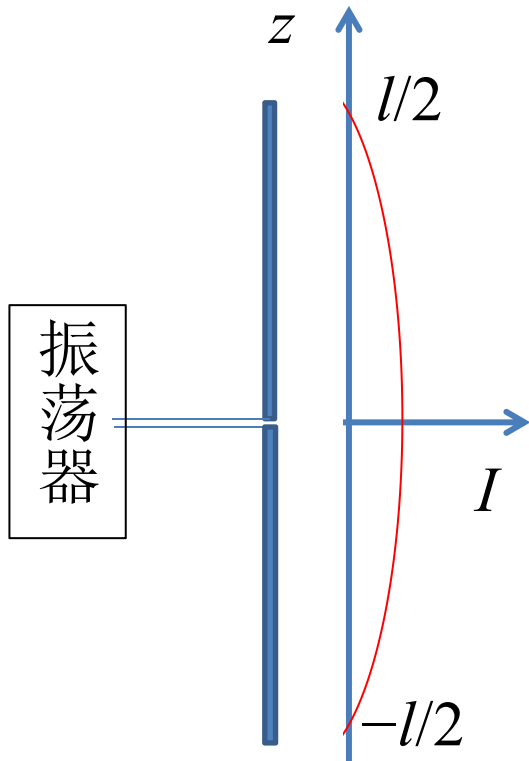
$$P = \oint |\bar{\mathbf{S}}| R^2 d\Omega = \frac{1}{4\pi\varepsilon_0} \frac{|\ddot{\mathbf{p}}|^2}{3c^3}$$

若 \mathbf{p} 振幅不变,

$$P \sim \omega^4 |\mathbf{p}|$$

$$\left(\frac{\partial}{\partial t} \sim -i\omega \right)$$

3.5 短天线的辐射 辐射电阻



因为 $\left|\frac{l}{\lambda}\right| \ll 1$ ，电流振幅沿上下天线分别为 z 的单调函数，我们把它近似为线性函数

$$I(z) = I_0 \left(1 - \frac{2}{l}|z|\right)$$

$$\dot{p} = \int J dV' = \int_{-l/2}^{l/2} I(z) dz = \frac{1}{2} I_0 l \quad \ddot{p} = -i \frac{\omega}{2} I_0 l$$

总辐射功率

$$P = \frac{1}{4\pi\epsilon_0} \frac{|\ddot{p}|^2}{3c^3} = \frac{\pi}{12} \sqrt{\frac{\mu_0}{\epsilon_0}} I_0^2 \left(\frac{l}{\lambda}\right)^2 \equiv \frac{1}{2} R_r I_0^2$$

对振荡电路等效于辐射电阻

$$R_r = \frac{\pi}{6} \sqrt{\frac{\mu_0}{\epsilon_0}} \left(\frac{l}{\lambda}\right)^2 \quad \sqrt{\frac{\mu_0}{\epsilon_0}} = 376.7 \Omega$$

第4节 磁偶极辐射和电四极辐射

最低阶磁辐射和电四辐射同级.

4.1 高频电流分布的磁偶极矩和电四极矩

多极矩展开

$$A(\mathbf{x}) \approx \frac{\mu_0 e^{ikR}}{4\pi} \int_V \frac{\mathbf{J}(\mathbf{x}')}{R} (1 - ik\hat{\mathbf{e}}_R \cdot \mathbf{x}' + \dots) dV'$$

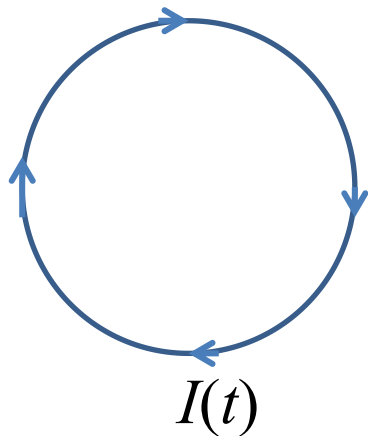
磁偶极和电偶极矩的矢势 ($\mathbf{p} = 0$ 时此贡献为主)

$$A(\mathbf{x}) = -ik \frac{\mu_0 e^{ikR}}{4\pi R} \int_V \mathbf{J}(\mathbf{x}') (\hat{\mathbf{e}}_R \cdot \mathbf{x}') dV'$$

对交变电流不能把电流分布看着封闭电流线的集合，电荷分布一般也是振荡的，因此往往同时存在磁辐射和电辐射。

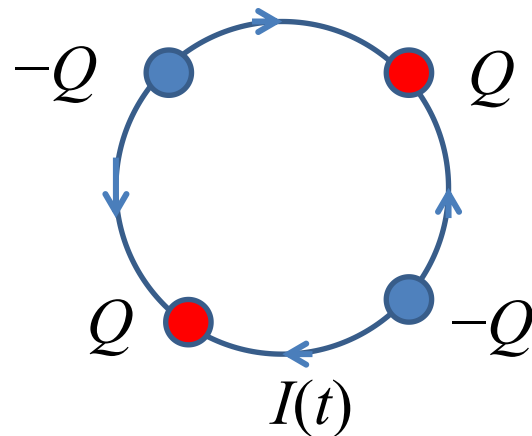
$$i\omega\rho = \nabla \cdot \mathbf{J}$$

$$i\omega\rho = \nabla \cdot \mathbf{J} = 0$$



纯磁偶极辐射

$$i\omega\rho = \nabla \cdot \mathbf{J} \neq 0$$



电四极矩辐射（忽略细线的电流）

记 $\mathbf{J}' = \mathbf{J}(\mathbf{x}')$. 辐射矢势积分中的被积函数写成

$$\mathbf{J}(\mathbf{x}')(\hat{\mathbf{e}}_R \cdot \mathbf{x}') = \hat{\mathbf{e}}_R \cdot (\mathbf{x}'\mathbf{J}') \quad \mathbf{x}'\mathbf{J}' = \frac{1}{2}(\mathbf{x}'\mathbf{J}' + \mathbf{J}'\mathbf{x}') + \frac{1}{2}(\mathbf{x}'\mathbf{J}' - \mathbf{J}'\mathbf{x}')$$

矢量 \mathbf{A} 和 \mathbf{B} 的并矢张量 $\mathcal{J} = \mathbf{AB}$ 按定义具有分量

$$T_{ij} = A_i B_j$$

$\mathbf{x}'\mathbf{J}'$ 的反对称部分 $(\mathbf{x}'\mathbf{J}')_a = \frac{1}{2}(\mathbf{x}'\mathbf{J}' - \mathbf{J}'\mathbf{x}')$

$$\begin{aligned}\int_V \hat{\mathbf{e}}_R \cdot (\mathbf{x}'\mathbf{J}')_a dV' &= \frac{1}{2} \int_V [(\hat{\mathbf{e}}_R \cdot \mathbf{x}')\mathbf{J}' - (\hat{\mathbf{e}}_R \cdot \mathbf{J}')\mathbf{x}'] dV' \\ &= -\frac{1}{2} \int_V \hat{\mathbf{e}}_R \times (\mathbf{x}' \times \mathbf{J}') dV' = -\hat{\mathbf{e}}_R \times \mathbf{m}\end{aligned}$$

其中磁偶极矩 $\mathbf{m} = \int_V \left(\frac{1}{2} \mathbf{x}' \times \mathbf{J}' \right) dV'$

磁偶极辐射的矢势为

$$A_m(\mathbf{x}) = -ik \frac{\mu_0 e^{ikR}}{4\pi R} \int_V \hat{\mathbf{e}}_R \cdot (\mathbf{x}'\mathbf{J}')_a dV' = ik \frac{\mu_0 e^{ikR}}{4\pi R} \hat{\mathbf{e}}_R \times \mathbf{m}$$

$$\mathbf{x}'\mathbf{J}'\text{的对称部分 } (\mathbf{x}'\mathbf{J}')_s = \frac{1}{2}(\mathbf{x}'\mathbf{J}' + \mathbf{J}'\mathbf{x}')$$

$$\mathbf{A}_s(\mathbf{x}) = -ik \frac{\mu_0 e^{ikR}}{4\pi R} \int_V \hat{\mathbf{e}}_R \cdot (\mathbf{x}'\mathbf{J}')_s dV'$$

电四极矩（张量）：

$$\mathcal{D} = \iiint_V (3\mathbf{x}'\mathbf{x}' - x'^2 \mathcal{J}) \rho(\mathbf{x}', t) dV' \quad \text{其中 } \mathcal{J} \text{ 为单位张量}$$

$$\begin{aligned} \dot{D}_{ij} &= \iiint_V (3x'_i x'_j - x'^2 \delta_{ij}) \dot{\rho}(\mathbf{x}', t) dV' = - \iiint_V (3x'_i x'_j - x'^2 \delta_{ij}) \nabla' \cdot \mathbf{J}' dV' \\ &= - \iiint_V \nabla' \cdot [(3x'_i x'_j - x'^2 \delta_{ij}) \mathbf{J}'] dV' + \iiint_V \mathbf{J}' \cdot \nabla' [(3x'_i x'_j - x'^2 \delta_{ij})] dV' \\ &= \iiint_V [3(J'_i x'_j + x'_i J'_j) - 2\mathbf{J}' \cdot \mathbf{x}' \delta_{ij}] dV' = \iiint_V [6(\mathbf{x}'\mathbf{J}')_{s,ij} - 2\mathbf{J}' \cdot \mathbf{x}' \delta_{ij}] dV' \end{aligned}$$

$$\dot{\mathcal{D}} = 6 \iiint_V (\mathbf{x}'\mathbf{J}')_s dV' - 2\mathcal{J} \iiint_V \mathbf{J} \cdot \mathbf{x}' dV'$$

从而

$$\int_V \hat{\mathbf{e}}_R \cdot (\mathbf{x}' \mathbf{J}')_s dV' = \hat{\mathbf{e}}_R \cdot \int_V (\mathbf{x}' \mathbf{J}')_s dV' = \frac{1}{6} \hat{\mathbf{e}}_R \cdot \dot{\mathcal{D}} + \frac{1}{3} \hat{\mathbf{e}}_R \int_V \mathbf{J}' \cdot \mathbf{x}' dV'$$

对称部分辐射的矢势 \mathbf{A}_s 为

$$-ik \frac{\mu_0 e^{ikR}}{4\pi R} \int_V \hat{\mathbf{e}}_R \cdot (\mathbf{x}' \mathbf{J}')_s dV' = -ik \frac{\mu_0 e^{ikR}}{4\pi R} \frac{1}{6} \hat{\mathbf{e}}_R \cdot \dot{\mathcal{D}} - ik \frac{\mu_0 e^{ikR}}{4\pi R} \frac{1}{3} \hat{\mathbf{e}}_R \int_V \mathbf{J}' \cdot \mathbf{x}' dV'$$

第二项是径向矢量，对辐射场无贡献. 准到 $1/R$ 阶第二项为

$$-\nabla \left(\frac{\mu_0 e^{ikR}}{4\pi R} \frac{1}{3} \int_V \mathbf{J}' \cdot \mathbf{x}' dV' \right)$$

因此可以通过规范变换把他去掉.

电四极矩辐射的矢势为

$$A_q(\mathbf{x}) = -ik \frac{\mu_0 e^{ikR}}{4\pi R} \frac{1}{6} \hat{\mathbf{e}}_R \cdot \dot{\mathcal{D}}$$

从而， (l/λ) 级辐射的矢势

$$A(\mathbf{x}) = A_m(\mathbf{x}) + A_q(\mathbf{x}) = -ik \frac{\mu_0 e^{ikR}}{4\pi R} \left(-\hat{\mathbf{e}}_R \times \mathbf{m} + \frac{1}{6} \hat{\mathbf{e}}_R \cdot \dot{\mathcal{D}} \right)$$

电四极矩张量的两种等价表达式（物理结果一样）：

$$\mathcal{D} = \iiint_V (3\mathbf{x}'\mathbf{x}' - x'^2 \mathcal{J}) \rho(\mathbf{x}', t) dV' \quad \text{其中 } \mathcal{J} \text{ 为单位张量}$$

$$\mathcal{D} = \iiint_V (3\mathbf{x}'\mathbf{x}') \rho(\mathbf{x}', t) dV'$$

4.2 磁偶极矩辐射

磁偶极辐射矢势 $\mathbf{A}_m(\mathbf{x}) = ik \frac{\mu_0 e^{ikR}}{4\pi R} \hat{\mathbf{e}}_R \times \mathbf{m}$

辐射区磁场 $\mathbf{B} = \nabla \times \mathbf{A}_m(\mathbf{x}) = \frac{\mu_0 e^{ikR}}{4\pi c^2 R} (\ddot{\mathbf{m}} \times \hat{\mathbf{e}}_R) \times \hat{\mathbf{e}}_R$

辐射区电场 $\mathbf{E} = c\mathbf{B} \times \hat{\mathbf{e}}_R = -\frac{\mu_0 e^{ikR}}{4\pi c R} (\ddot{\mathbf{m}} \times \hat{\mathbf{e}}_R)$

磁偶极辐射的结果可以从电偶极辐射结果中通过下面变换得到：

$$\mathbf{p} \rightarrow \frac{\mathbf{m}}{c}, \quad \mathbf{E} \rightarrow c\mathbf{B}, \quad c\mathbf{B} \rightarrow -\mathbf{E}$$

电磁对偶对称性： 没有电荷（可以有电多极矩）情形，真空麦克斯韦方程隐含的对称性.

磁偶极辐射的平均能流密度

$$\bar{\mathbf{S}} = \frac{|\ddot{\mathbf{m}}|^2}{32\pi^2 \varepsilon_0 c^5 R^2} \sin^2 \theta \hat{\mathbf{e}}_R$$

磁偶极辐射的总辐射功率

$$P = \frac{1}{4\pi\varepsilon_0} \frac{|\ddot{\mathbf{m}}|^2}{3c^5}$$

例：半径为 a 的圆形细导线上有交变电流 $I(t) = I_0 e^{-i\omega t}$ ，求磁偶极辐射。

解： $\mathbf{m} = I_0 \pi a^2 e^{-i\omega t}$

$$P = \frac{1}{4\pi\varepsilon_0} \frac{|\ddot{\mathbf{m}}|^2}{3c^5} = \frac{\omega^4}{4\pi\varepsilon_0} \frac{|\mathbf{m}|^2}{3c^5} = \frac{4\pi^3}{3} \sqrt{\frac{\mu_0}{\varepsilon_0}} \left(\frac{a}{\lambda}\right)^4 I_0^2$$

4.3 电四极矩辐射

电四极矩辐射矢势 $A_q(\mathbf{x}) = -ik \frac{\mu_0 e^{ikR}}{4\pi R} \frac{1}{6} \hat{\mathbf{e}}_R \cdot \dot{\mathcal{D}}$

定义 $\mathbf{D} = \hat{\mathbf{e}}_R \cdot \dot{\mathcal{D}}$

辐射区磁场 $\mathbf{B} = \nabla \times \mathbf{A}_q(\mathbf{x}) = \frac{e^{ikR}}{24\pi\epsilon_0 c^4 R} \ddot{\mathbf{D}} \times \hat{\mathbf{e}}_R$

辐射区电场 $\mathbf{E} = c\mathbf{B} \times \hat{\mathbf{e}}_R = \frac{e^{ikR}}{24\pi\epsilon_0 c^3 R} (\ddot{\mathbf{D}} \times \hat{\mathbf{e}}_R) \times \hat{\mathbf{e}}_R$

辐射平均能流密度

$$\bar{\mathbf{S}} = \frac{1}{4\pi\epsilon_0} \frac{1}{288\pi c^5 R^2} |\ddot{\mathbf{D}} \times \hat{\mathbf{e}}_R|^2 \hat{\mathbf{e}}_R$$

第5节 天线辐射

电流分布尺度与波长可以比拟的情形.

5.1 天线上的电流分布

因 $l \sim \lambda$, 不能用展开式
$$\mathbf{A}(\mathbf{x}) \approx \frac{\mu_0 e^{ikR}}{4\pi} \int_V \frac{\mathbf{J}(\mathbf{x}')}{R} (1 - ik\hat{\mathbf{e}}_R \cdot \mathbf{x}' + \dots) dV'$$

周期振荡,

$$\mathbf{A}(\mathbf{x}) = \frac{\mu_0}{4\pi} \int_V \frac{\mathbf{J}(\mathbf{x}')}{r} e^{ikr} dV'$$

一般要考虑场对电流的制约, 联立求解 \mathbf{A} 和 \mathbf{J} .

考虑长直细天线, $\mathbf{J} = J\hat{\mathbf{e}}_z$

因此 \mathbf{A} 也沿 z 方向. 洛仑兹规范条件

$$\nabla \cdot \mathbf{A} + \frac{1}{c^2} \frac{\partial \varphi}{\partial t} = 0$$

$$\frac{\partial A_z}{\partial z} + \frac{1}{c^2} \frac{\partial \varphi}{\partial t} = 0$$



电场 $E_z = -\frac{\partial \varphi}{\partial z} - \frac{\partial A_z}{\partial t}$

从而 $\frac{1}{c^2} \frac{\partial E_z}{\partial t} = -\frac{1}{c^2} \frac{\partial}{\partial z} \frac{\partial \varphi}{\partial t} - \frac{1}{c^2} \frac{\partial^2 A_z}{\partial t^2} = \frac{\partial^2 A_z}{\partial z^2} - \frac{1}{c^2} \frac{\partial^2 A_z}{\partial t^2}$

在导体表面 $E_z = 0$ ，得波动方程 $\frac{\partial^2 A_z}{\partial z^2} - \frac{1}{c^2} \frac{\partial^2 A_z}{\partial t^2} = 0$

矢势与电流密度的制约关系， $A_z(\mathbf{x}) = \frac{\mu_0}{4\pi} \int_V \frac{J(\mathbf{x}')}{r} e^{ikr} dV'$

高频振荡电流主要集中在表面，而细天线可以忽略电流沿径向的变化. 两种情况都只需考虑表面的电流密度 $J(z')$. 对给定 $A_z(z)$ 在天线表面的函数形式，上式是关于 $J(z)$ 的积分方程，加上端点电流为零的条件可以确定 $J(z)$.

5.2 半波天线

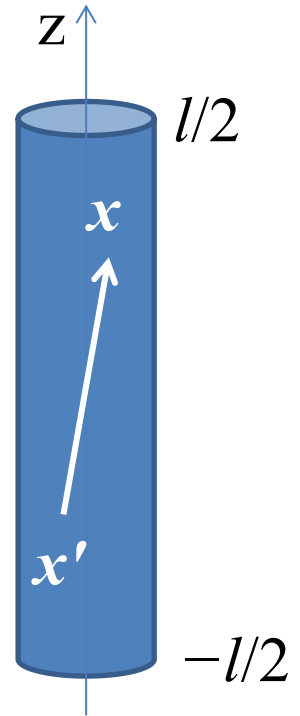
对细天线，表面两点 \mathbf{x} 和 \mathbf{x}' 的 z 坐标差很小时，他们的距离 r 也很小.

$$A_z(z) = \frac{\mu_0}{4\pi} \int_V \frac{J(\mathbf{x}')}{r} e^{ikr} dV'$$

当 $z' \rightarrow z$ 时， $r \rightarrow 0$ ，所以 $A_z(z)$ 主要由 $J(z)$ 决定， $A_z(z)$ 和 $J(z)$ 具有近似相同的函数形式. 所以 $J(z)$ 也近似满足波动方程，

$$\frac{\partial^2 J(z)}{\partial z^2} - \frac{1}{c^2} \frac{\partial^2 J(z)}{\partial t^2} = 0$$

加上边值条件 $J(l/2) = J(-l/2) = 0$ ，得电流驻波模(仅适用细天线).



中央馈电细天线的电流驻波分布

$$I(z) = \begin{cases} I_0 \sin k \left(\frac{l}{2} - z \right) & , \quad 0 \leq z \leq \frac{l}{2} \\ I_0 \sin k \left(\frac{l}{2} + z \right) & , \quad -\frac{l}{2} \leq z \leq 0 \end{cases}$$

若 $l = \lambda/2$ 则 $kl/2 = \pi/2$, $I(z) = I_0 \cos kz$, $|z| \leq \frac{l}{2}$

矢势

$$A_z(\mathbf{x}) = \frac{\mu_0}{4\pi} \int_{-l/2}^{l/2} \frac{e^{ikr}}{r} I_0 \cos kz dz$$

远场 $r = R - z \cos \theta$

$$\begin{aligned} A(\mathbf{x}) &\approx \hat{\mathbf{e}}_z \frac{\mu_0 I_0 e^{-ikR}}{4\pi R} \int_{-l/2}^{l/2} e^{-ikz \cos \theta} \cos kz dz \\ &= \frac{\mu_0 I_0 e^{ikR}}{2\pi k R} \frac{\cos\left(\frac{\pi}{2} \cos \theta\right)}{\sin^2 \theta} \hat{\mathbf{e}}_z \end{aligned}$$

半波天线 ($l = \lambda/2$) 的辐射特性

辐射区磁场 $\mathbf{B}(\mathbf{x}) = -i \frac{\mu_0 I_0 e^{ikR}}{2\pi R} \frac{\cos(\frac{\pi}{2} \cos \theta)}{\sin \theta} \hat{\mathbf{e}}_\varphi$

辐射区电场 $\mathbf{E}(\mathbf{x}) = c\mathbf{B} \times \mathbf{e}_R = -i \frac{\mu_0 c I_0 e^{ikR}}{2\pi R} \frac{\cos(\frac{\pi}{2} \cos \theta)}{\sin \theta} \hat{\mathbf{e}}_\theta$

平均辐射能流密度

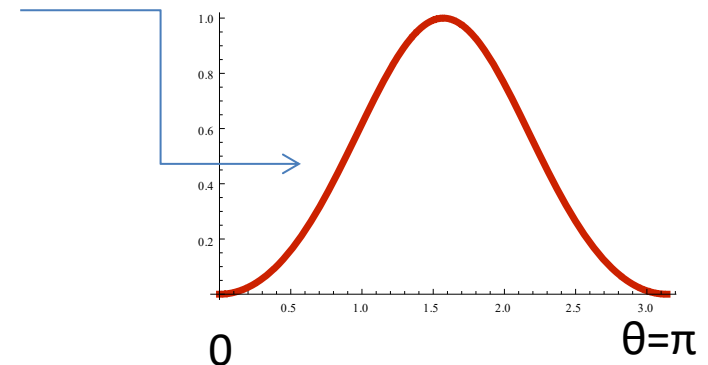
$$\bar{\mathbf{S}} = \frac{1}{2} \text{Re}(\mathbf{E}^* \times \mathbf{H}) = \frac{\mu_0 c I_0}{8\pi^2 R^2} \frac{\cos^2(\frac{\pi}{2} \cos \theta)}{\sin^2 \theta} \hat{\mathbf{e}}_R$$

辐射总功率

$$P = 2.44 \frac{\mu_0 c I_0^2}{8\pi}$$

辐射电阻

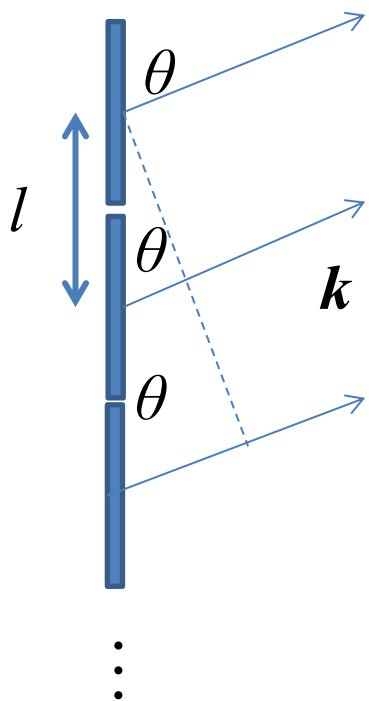
$$R_r = 2.44 \frac{\mu_0 c}{4\pi} = 73.2 \Omega$$



5.3 天线阵

半波天线辐射能流密度与方位角 φ 无关, 对极角 θ 有一定的方向性. 为了得到高度定性的辐射, 可用天线阵列.

例: 纵向半波天线阵列. 共 N 条天线, 相邻距离 l , 电流同相.



设最上端天线辐射的电场为 $E_0(R, \theta)$

从上往下第 m 条天线辐射的电场

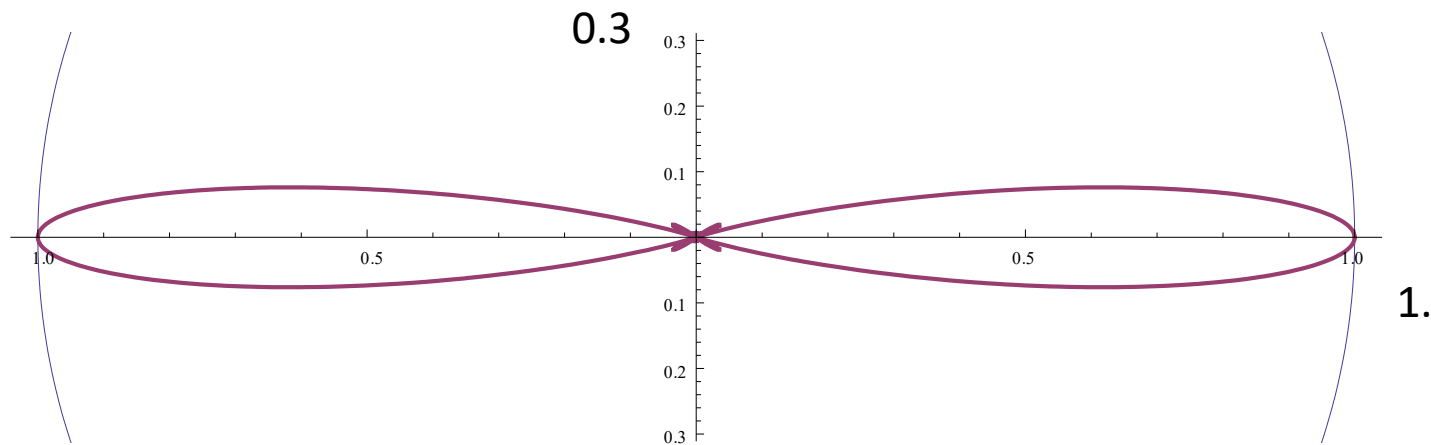
$$E_m(R, \theta) = E_0(R, \theta)e^{imkl \cos \theta}$$

极角 θ 方向的总电场为

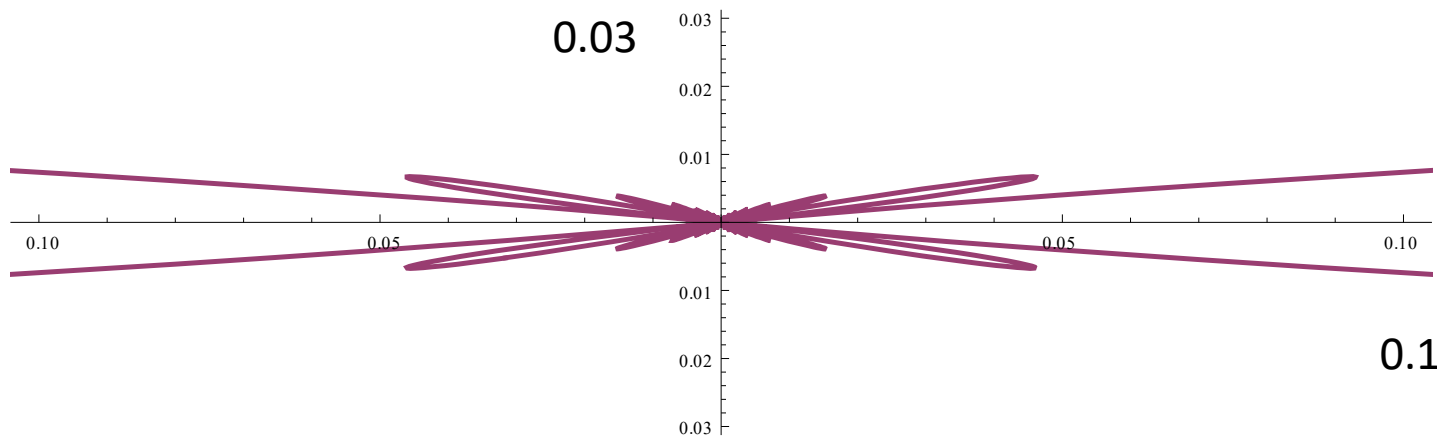
$$E(R, \theta) = \sum_{m=0}^{N-1} E_m(R, \theta) = \frac{1 - e^{iNkl \cos \theta}}{1 - e^{ikl \cos \theta}} E_0(R, \theta)$$

平均能流密度
$$\bar{\mathbf{S}} = \frac{\mu_0 c I_0}{8\pi^2 R^2} \frac{\cos^2\left(\frac{\pi}{2} \cos \theta\right)}{\sin^2 \theta} \frac{\sin^2\left(\frac{N}{2} \pi \cos \theta\right)}{\sin^2\left(\frac{1}{2} \pi \cos \theta\right)} \hat{\mathbf{e}}_R$$

N=6



N=20



辐射极角分布图

半波天线 ($l = \lambda/2$) 的辐射特性

辐射区磁场 $\mathbf{B}(\mathbf{x}) = -i \frac{\mu_0 I_0 e^{ikR}}{2\pi R} \frac{\cos(\frac{\pi}{2} \cos \theta)}{\sin \theta} \hat{\mathbf{e}}_\phi$

辐射区电场 $\mathbf{E}(\mathbf{x}) = c\mathbf{B} \times \mathbf{e}_R = -i \frac{\mu_0 c I_0 e^{ikR}}{2\pi R} \frac{\cos(\frac{\pi}{2} \cos \theta)}{\sin \theta} \hat{\mathbf{e}}_\theta$

平均辐射能流密度

$$\bar{\mathbf{S}} = \frac{1}{2} \text{Re}(\mathbf{E}^* \times \mathbf{H}) = \frac{\mu_0 c I_0}{8\pi^2 R^2} \frac{\cos^2(\frac{\pi}{2} \cos \theta)}{\sin^2 \theta} \hat{\mathbf{e}}_R$$

辐射总功率

$$P = 2.44 \frac{\mu_0 c I_0^2}{8\pi}$$

辐射电阻

$$R_r = 2.44 \frac{\mu_0 c}{4\pi} = 73.2 \Omega$$

第十四次作业:

1. 阅读p171例题.
2. 电四极矩如p66图2-13的 D_{12} , 设电荷绝对值以角频率 ω 振荡.
计算辐射平均能流密度.
3. P186习题10.